

Získané vady

Z. Rozkydal

Získané vady

Vznikají v průběhu života dítěte v dospívání nebo v dospělosti

Statické vady dolních končetin

Poruchy epifýz a epifyzárniho růstu

Poúrazové deformity

Deformity v důsledku jiných chorob

Deformity v důsledku jiných chorob

Záněty

Metabolické choroby

Neurologické choroby

Svalová onemocnění

Endokrinní choroby

Statické vady dolních končetin

Nejčastější vady:

Pes planus et pes transversoplanus

Genua vara

Genua valga

Hallux valgus

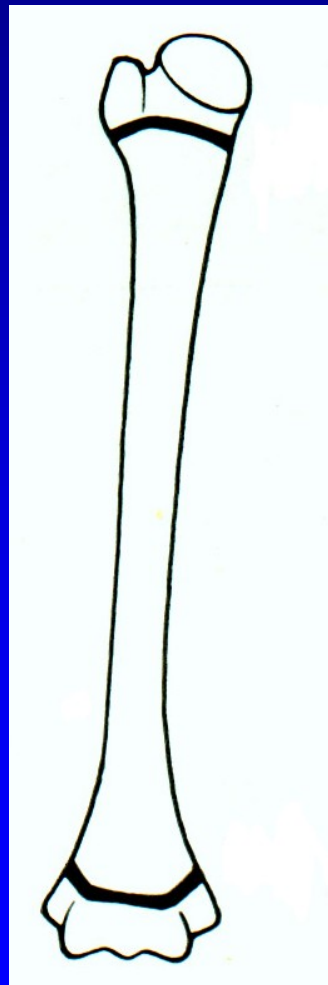
Digitus hamatus

Poruchy epifýz

Patří sem hlavně
idiopatické avaskulární
nekrózy epifýz

Etiologie je neznámá

Obr. 1



epifýza
metafýza

diafýza

metafýza

epifýza

M. Calvé-Legg- Perthes

Je to komplikace nekrózy proximální epifýzy femuru

4 -12 let

10% oboustranně

4x častěji chlapci

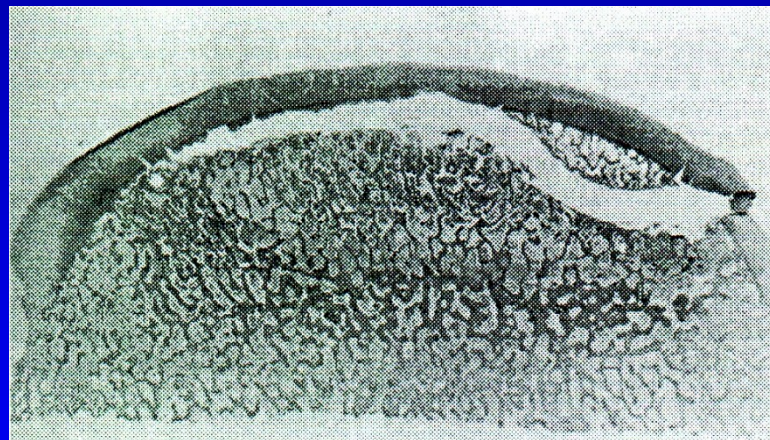
Klinické projevy: kulhání, bolest omezený pohyb (rotace a abdukce)



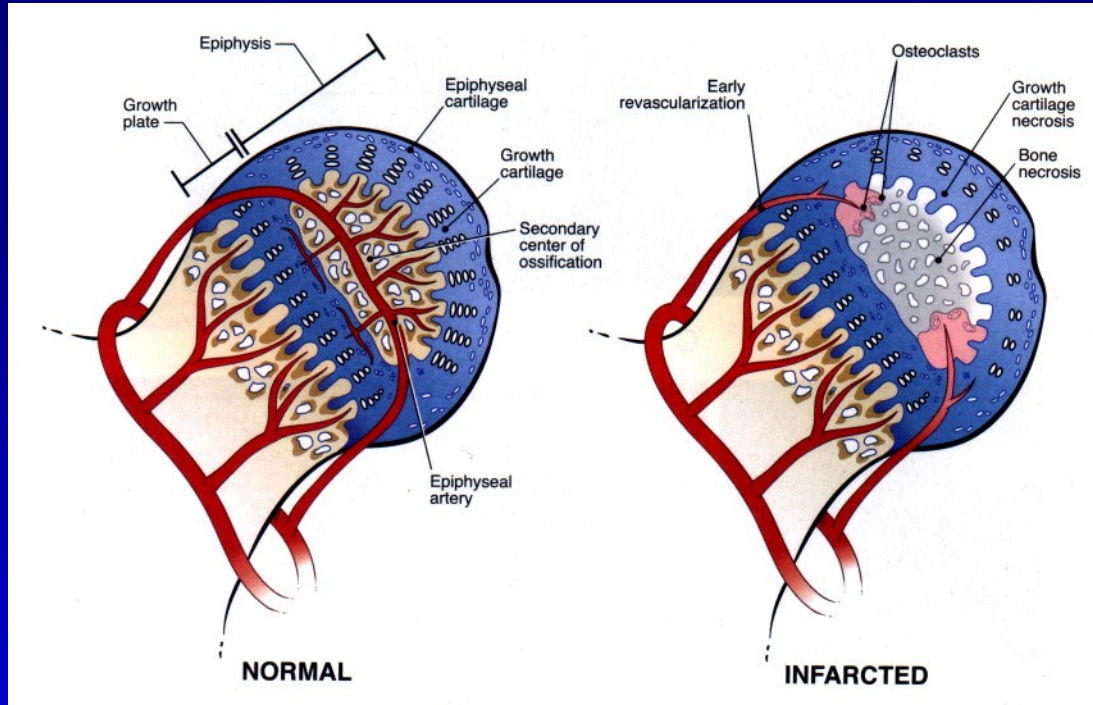
Obr. 2

M. Calvé-Legg- Perthes

Ischémie postihuje celou epifýzu
Růst kloubní chrupavky ještě pokračuje
Kost je rezorbována a nahrazenou
plst'ovitou nezralou kostí
Tato kost je měkká a vulnerabilní
Vzniká bolestivá
subchondrální fraktura
Ukazuje na rozsah postižení
Nová plst'ovitá kost je pozvolna
revaskularizována
Nová kost je plastická
a je tvarována podle zátěže



Obr. 6
Subchondrální fraktura
hlavice femuru



Ztráta vaskularizace epifýzy

Nekróza kloubní chrupavky epifýzy

Zástava enchondrální osifikace

Kumulace mikropoškození v epifýze-

- resorpce, zhoršení mechanické síly

Poškození růstové ploténky- coxa vara, coxa brevis

M. Perthes

1. ischemická fáze: avaskulární nekróza
zástava růstu epifýzy
revaskularizace z periferie
obnova osifikace

2. ischemická fáze: trauma, subchondrální fraktura
rezorpce pod frakturou
náhrada plastickou kostí
subluxace, deformita

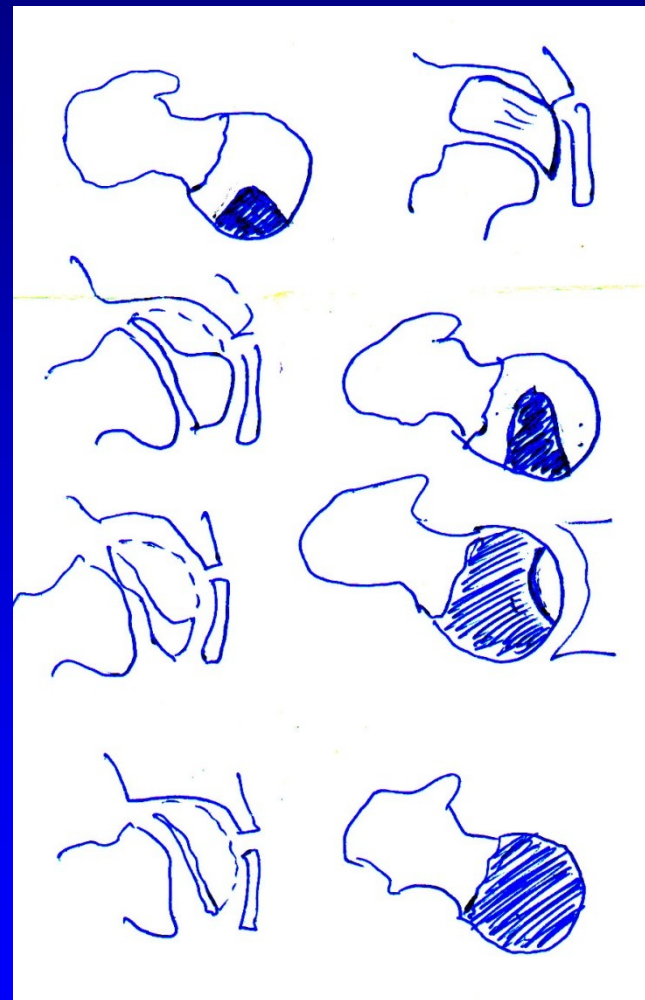
Dělení podle Cateralla

I. 25 %

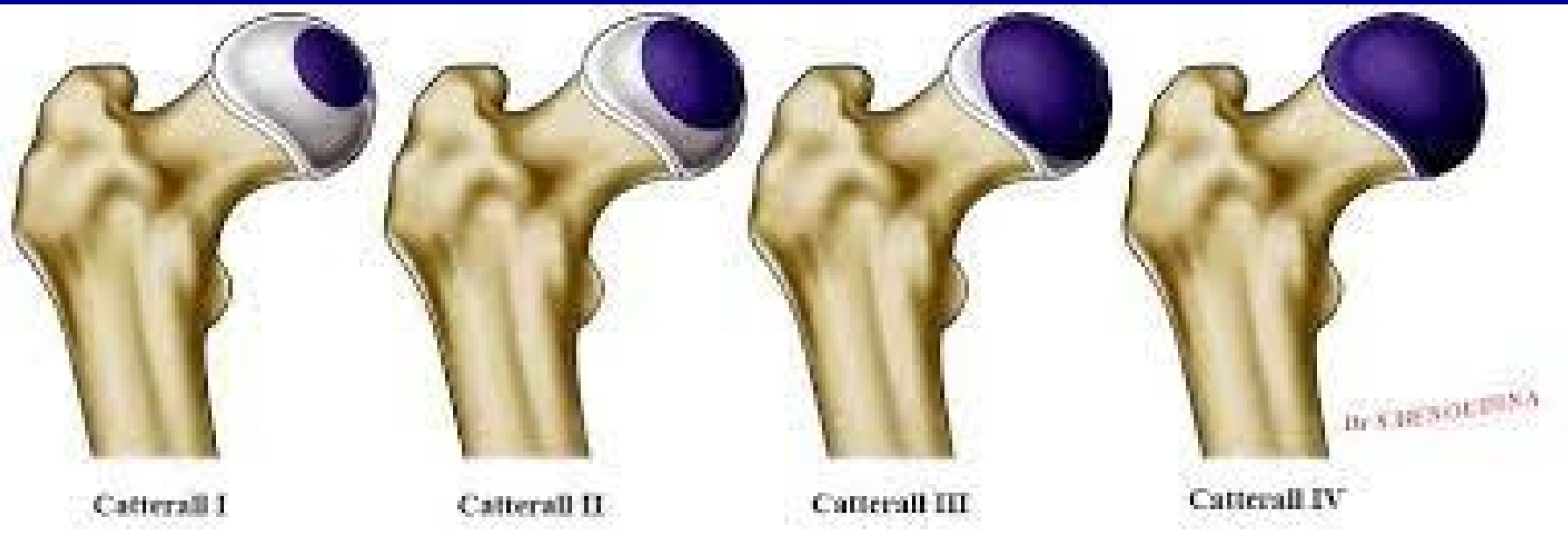
II. 50 %
med.- laterální pilíř

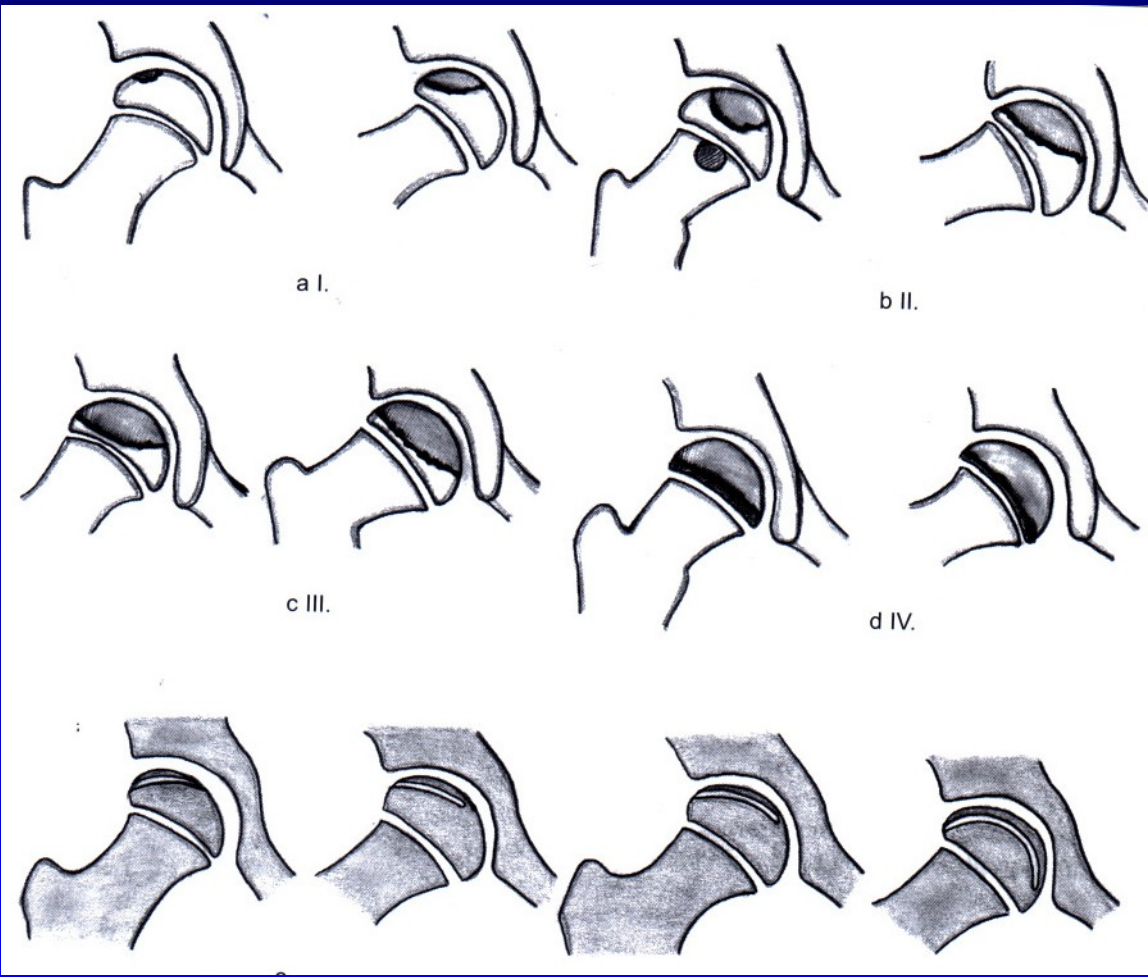
III. 75 %

IV. 100 %



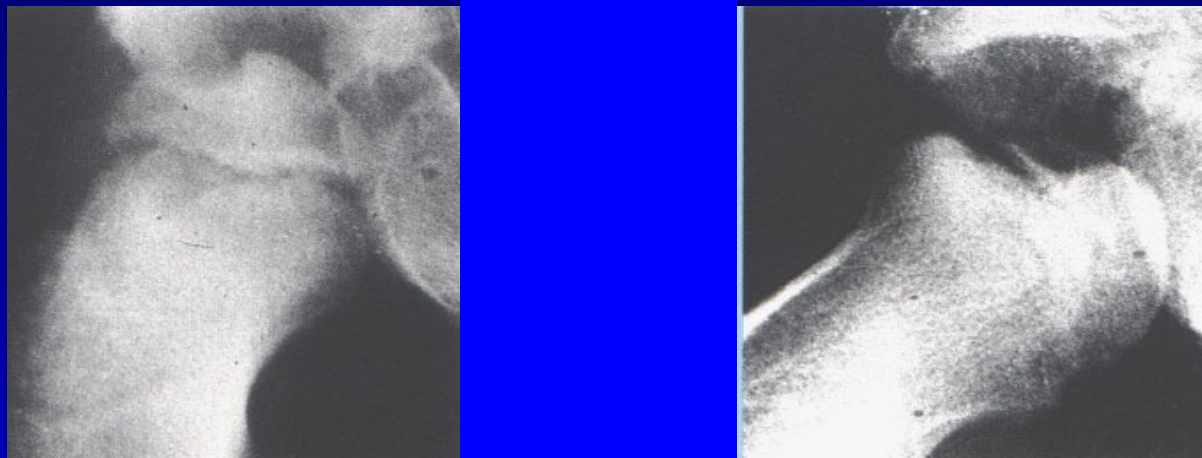
Obr. 7





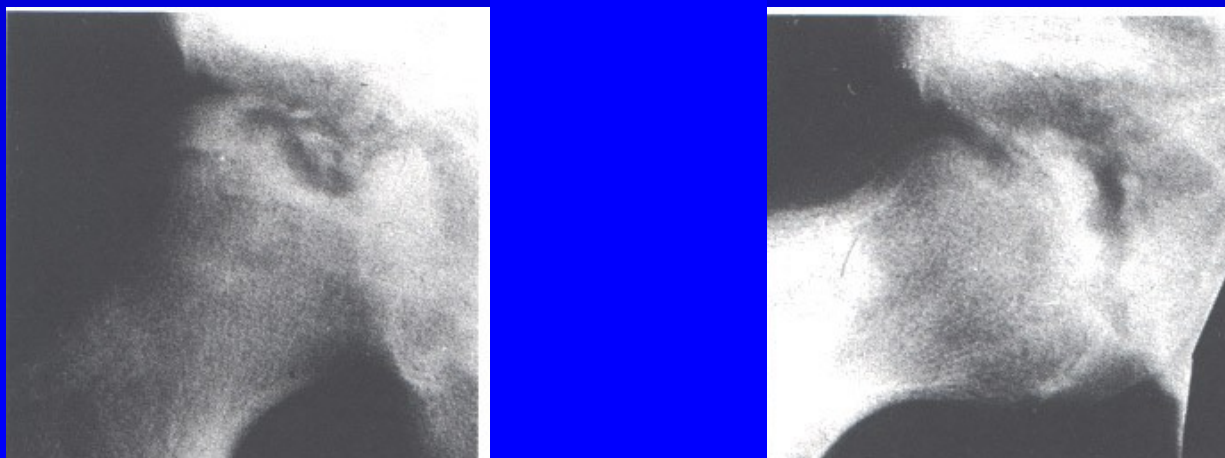
Subchondral fx
less than one half

Subchondral fx
more than one half



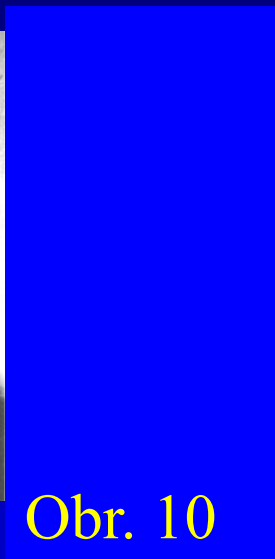
Caterall I

Obr. 8



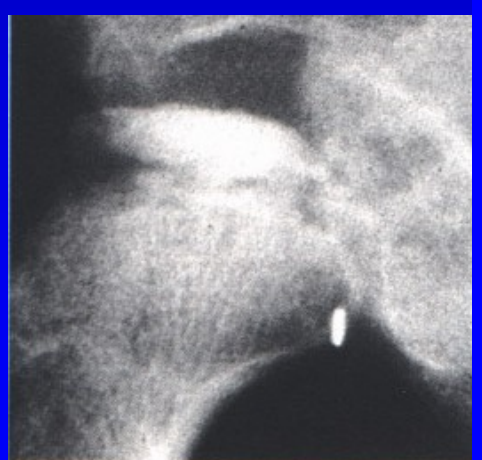
Caterall II

Obr. 9



Caterall III

Obr. 10



Caterall IV

Obr. 11

Vyšetření

RTG

MRI

Arthrografie

CT - 3 D rekonstrukce

Scintigrafie

Ultrasonografie





MRI

Prognóza

I. a II. stupeň - dobrá prognóza

III. a IV. stupeň - špatná prognóza

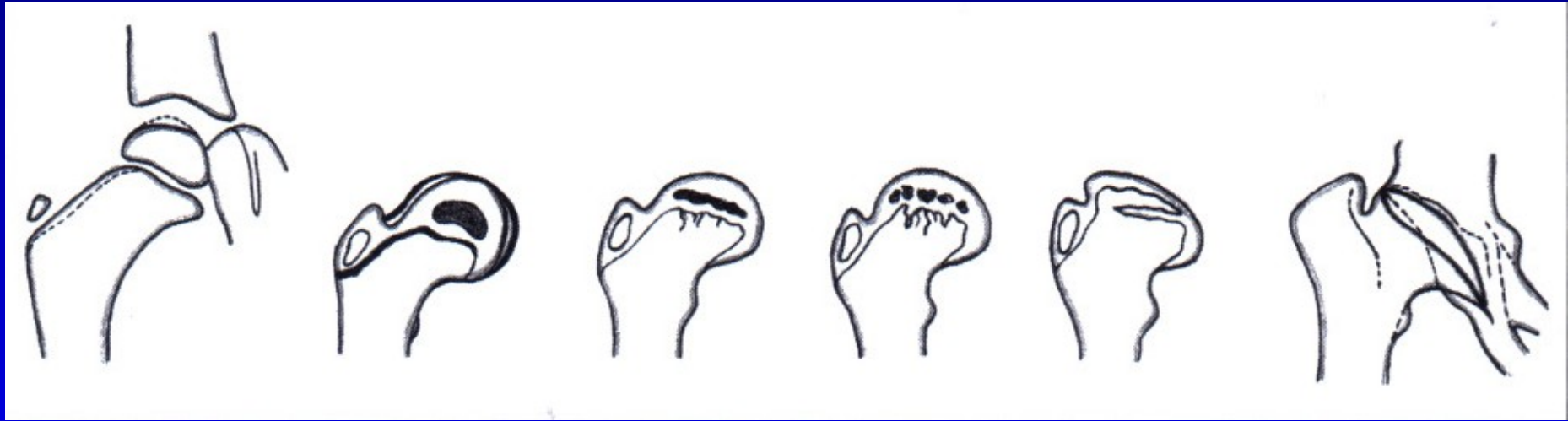
Rizikové faktory:

vyšší věk

větší rozsah ložiska

ztráta containmentu, subluxace

ztráta pohybu



Typy deformity u m. Perthes

Léčba

Princip léčby- containment

= udržení hlavice hluboko v acetabulu

Důležité je:

zachovat pohyb v kyčelním kloubu

cvičení s cílem co nejlepšího rozsahu pohybu

dlouhodobé odlehčení a nezatěžování končetiny

Konzervativní metody:

- berle: měsíce

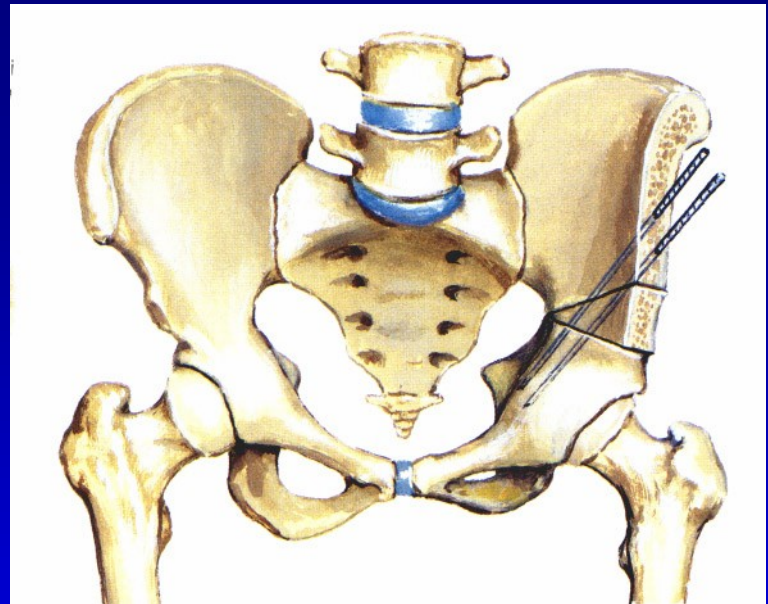
Operační metody: u III. a IV. st. a subluxace

osteotomie pánve (Salter, Steel)

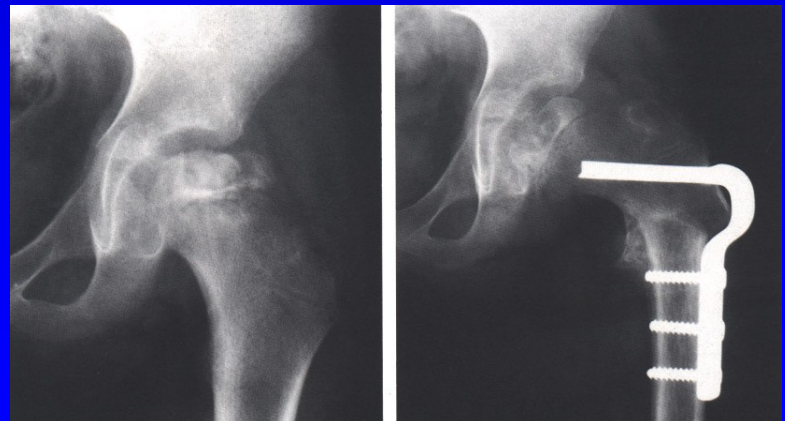
osteotomie femuru- výjimečně

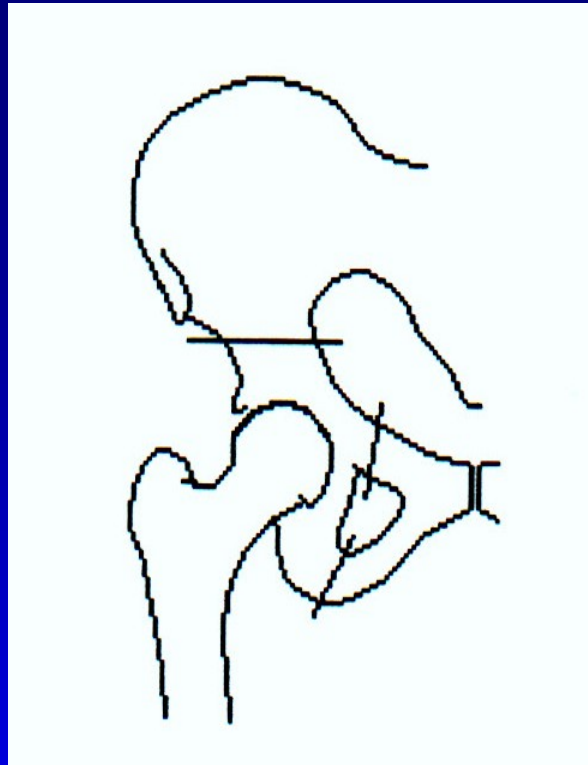
Operativní metody

Osteotomie pánve
sec. Salter
- u mladších dětí



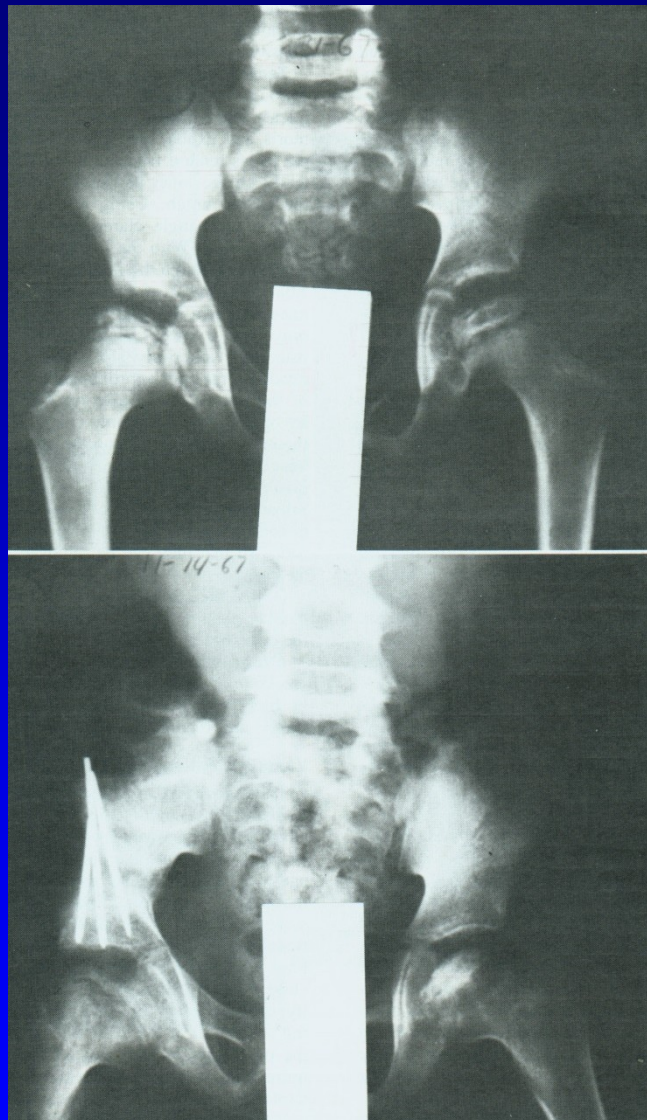
Varizační osteotomie
femuru



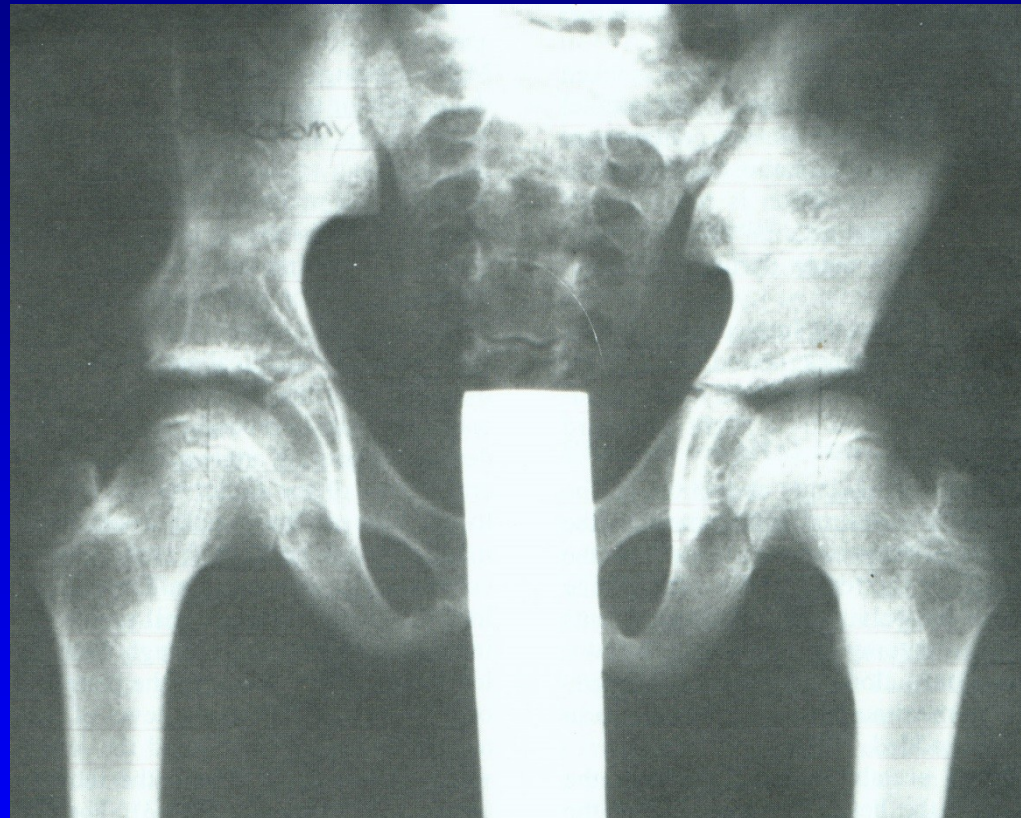


Osteotomie pánve podle Steela
- u starších dětí

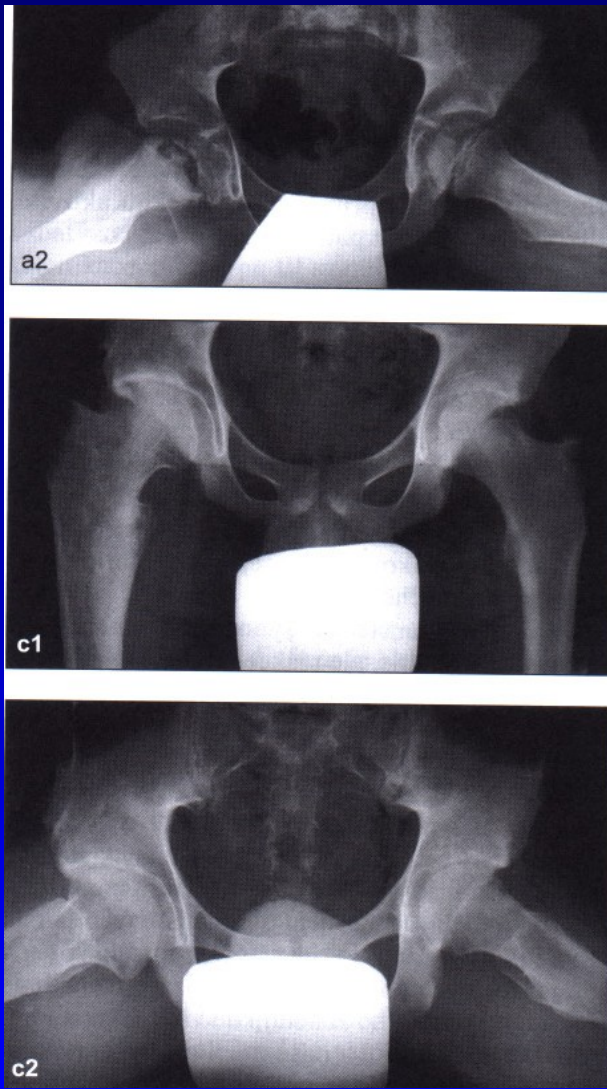
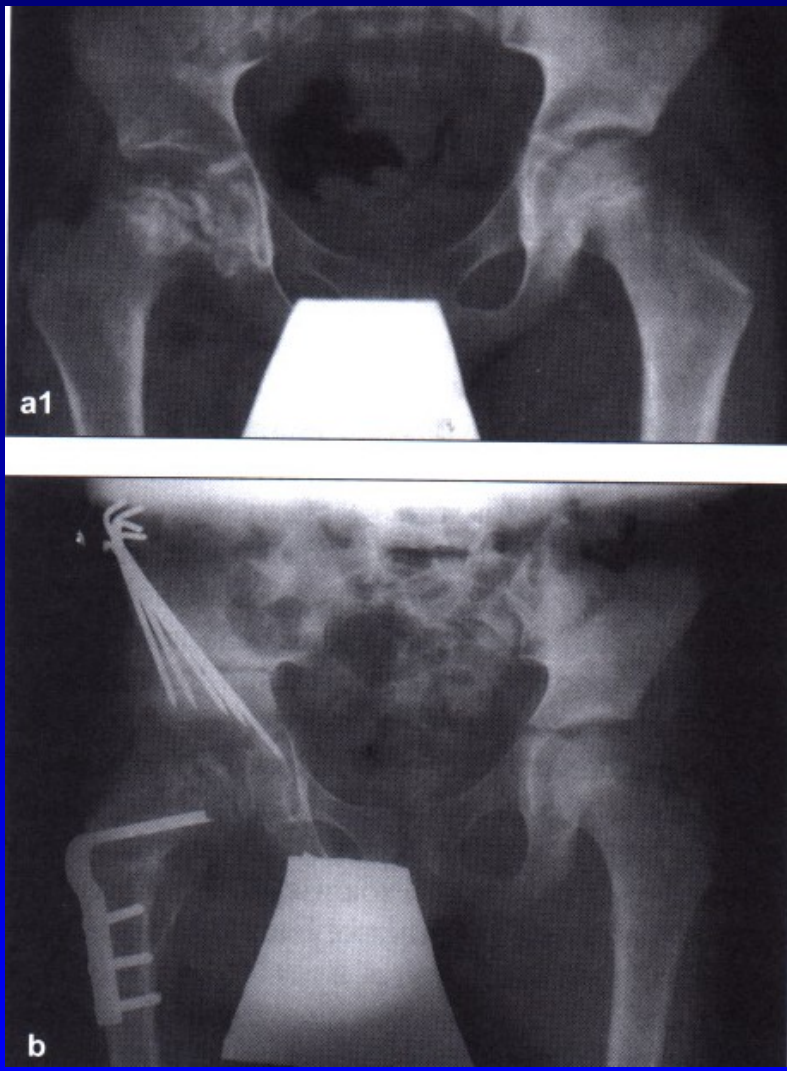
Op. sec. Salter



Obr. 19



Obr. 20



Perthes disease on the right hip
after Salter osteotomy
Almost normal hip in 18 years of age

Následky m. Perthes

coxa plana

zkratek končetiny

omezení pohybu

předčasná deformující artróza

Prognóza je lepší:

dítě je mladší

menší stupeň postižení

není laterální subluxace



Obr. 21

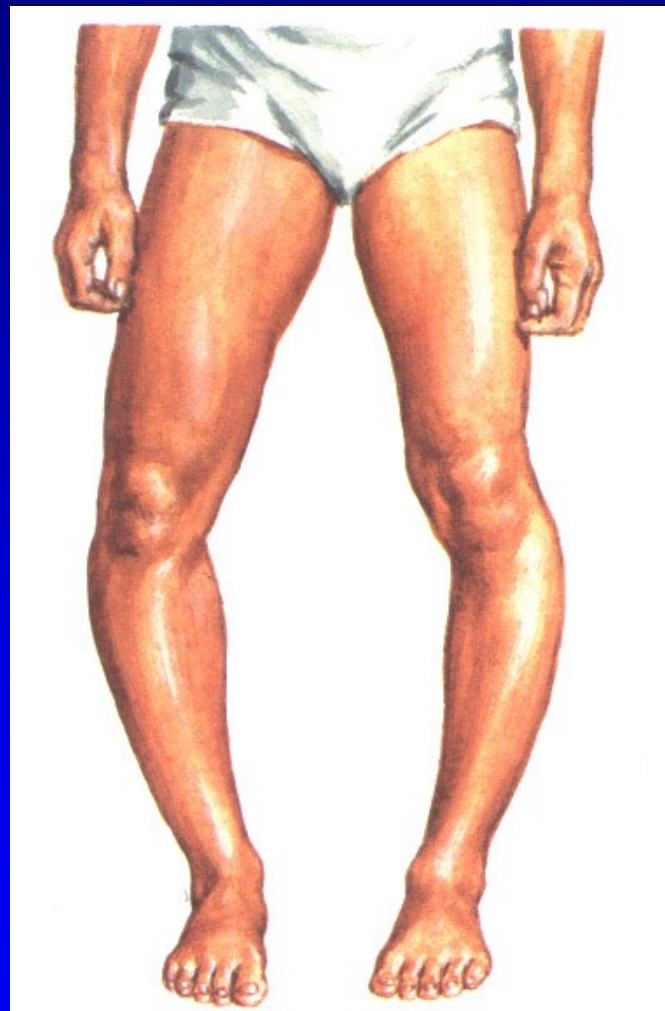
Tibia vara Blount

Porucha růstu mediální části
růstové ploténky proximální části tibie

Předčasný uzávěr RP mediálně
Zmenšení epifýzy mediálně

Typ infantilní – do 3 let
Typ juvenilní - do 10 let

Th: odlečení, ortézy
korekční osteotomie



Obr. 22

Tibia vara Blount



Obr. 24



Obr. 25

Necrosis ossis lunati m. Kienböck

Terapie:

Klid

Imobilizace

Extirpace kosti + smotek šlachy

Náhrada implantátem

Transpozice os pisiforme



Obr. 36

M. Köhler I. - necrosis ossis navicularis

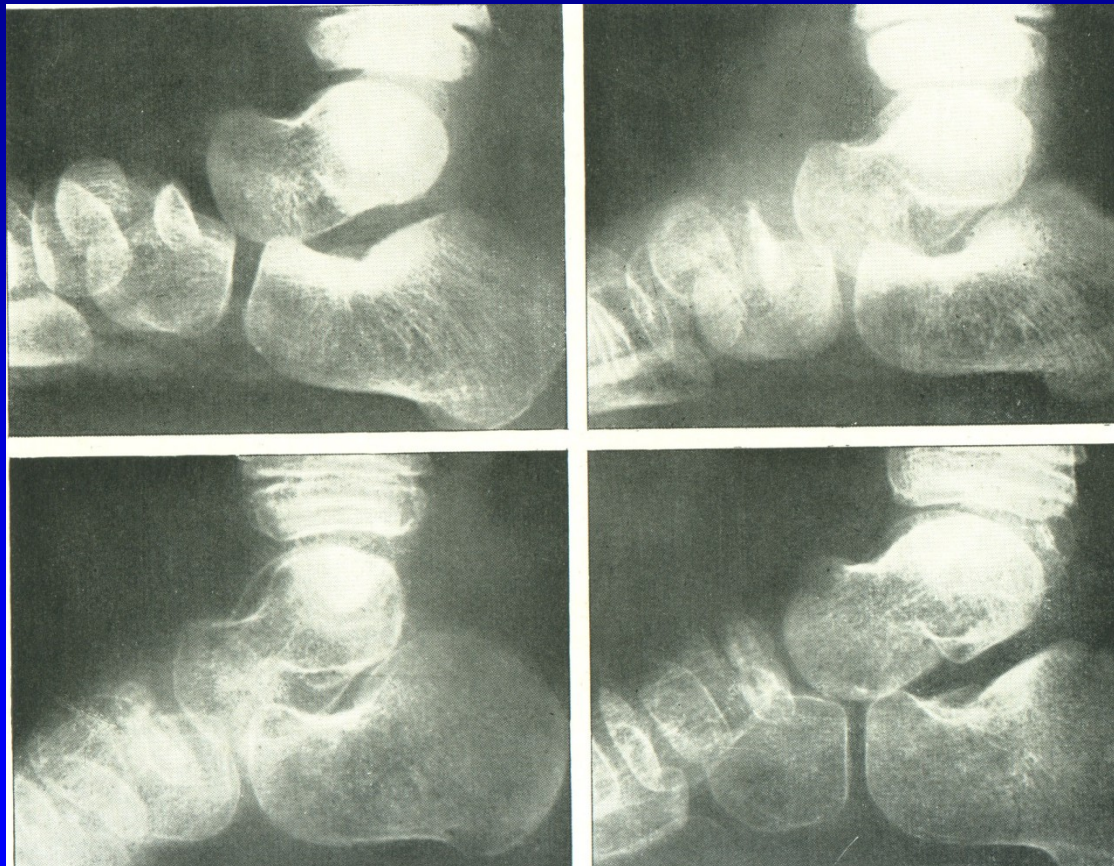
Terapie:

Klid

Imobilizace

Náhrada kostním štěpem

Artrodéza



Obr. 37

M. Köhler II.

M. Freiberg-Köhler

Necrosis capitis
metatarsi

Terapie:

Klid, odlehčení

Vložky, ortézy

Operace:

Snesení nekrotické části

Plastika

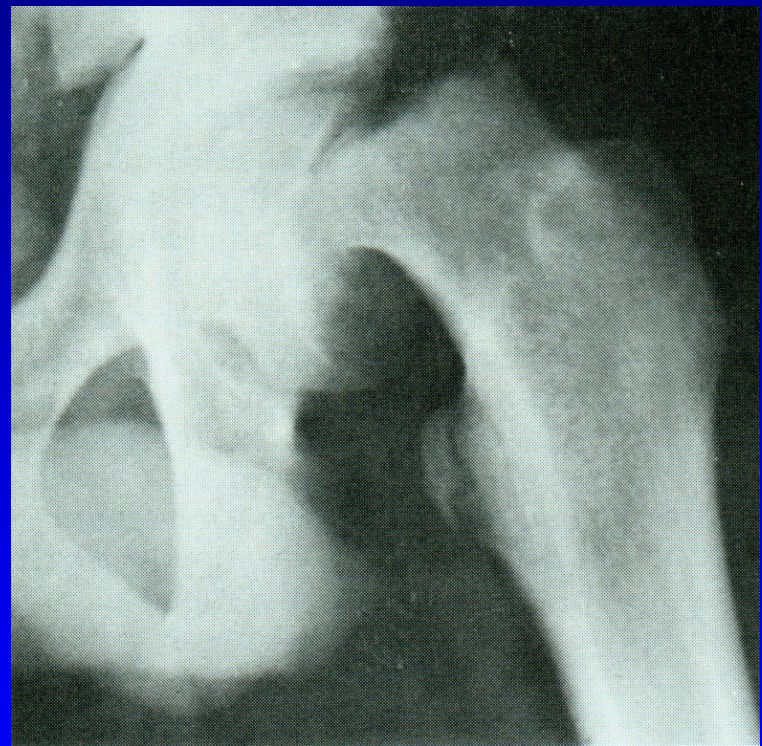
Osteotomie



Obr. 38

Coxa vara adolescentium

Je to porucha epifyzárního růstu
Oslabení růstové ploténky
Nerovnováha mezi růstovým
hormonem a pohlavními hormony
Obézní jedinci
Fröhlichův syndrom
Adiposogenitální syndrom
9-15 let
1/3 oboustranný výskyt

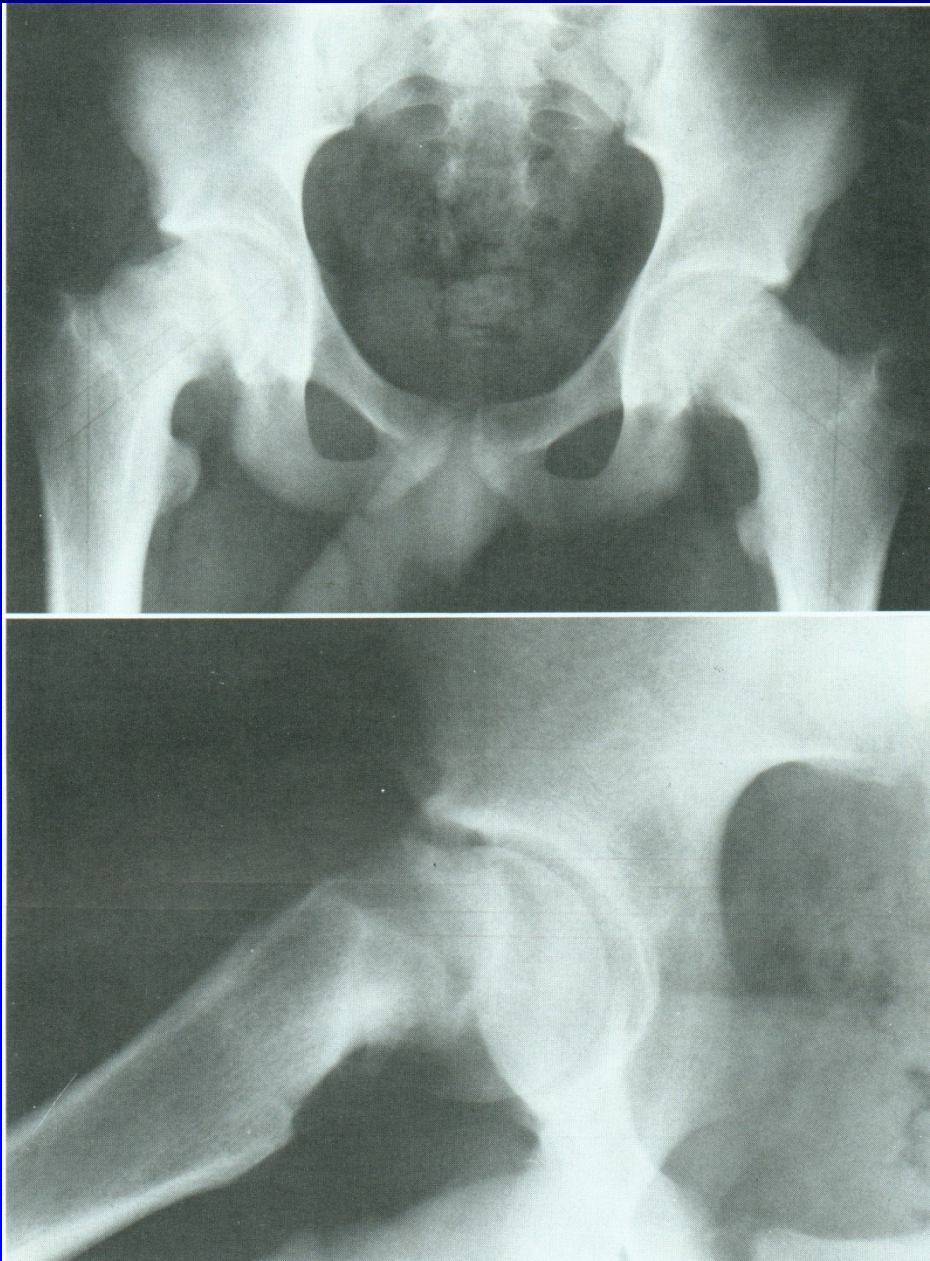


Obr. 26

CVA

Pozvolný nebo náhlý
skluz proximální epifýzy
femuru dolů , dozadu
do varozity a retroverze,
metafýza femuru jde
proximálně a zevně.

Obr. 27

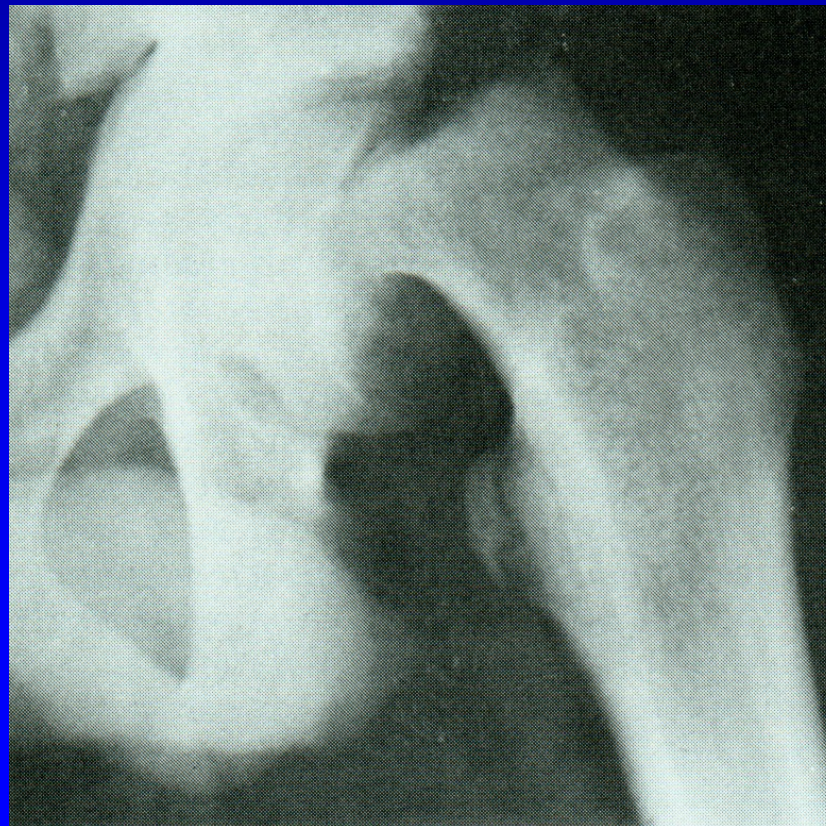


Klinické příznaky:

Bolest v kyčli, někdy v koleni, kulhání
končetina je zkrácena v zevní rotaci

Omezena abdukce a vnitřní rotace

Trendelenburgův příznak je pozitivní



Obr. 28

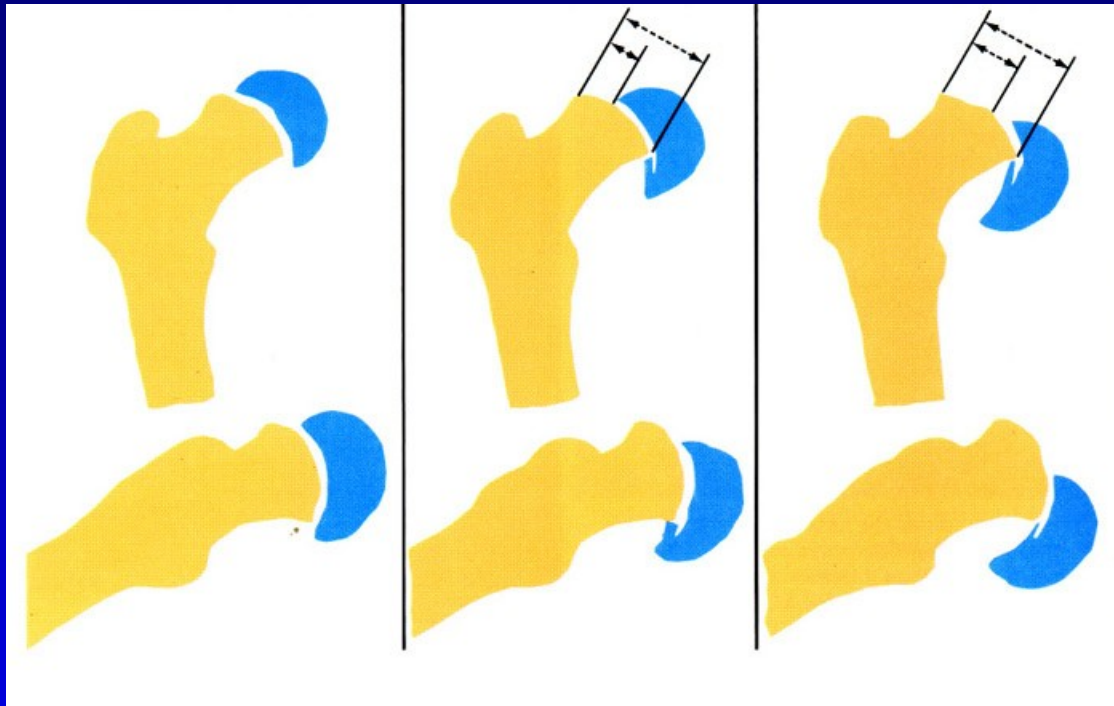
Typy CVA:

1. Preslip (6%)
2. Akutní skluz (11%)
3. Chronický skluz (po 2 týdnech, 60 %)
4. Akutní skluz v situaci chronického sklouzavání (23%)



Obr. 29

Stupeň CVA



1. Lehký: úhel do 30%, skluz o $1/3$ průměru hlavice
2. Středně těžký: úhel 30-60 %, skluz $1/3\text{-}1/2$ průměru hlavice
3. Těžký: úhel nad 60 %, skluz o více jak $\frac{1}{2}$ průměru hlavice

Léčba

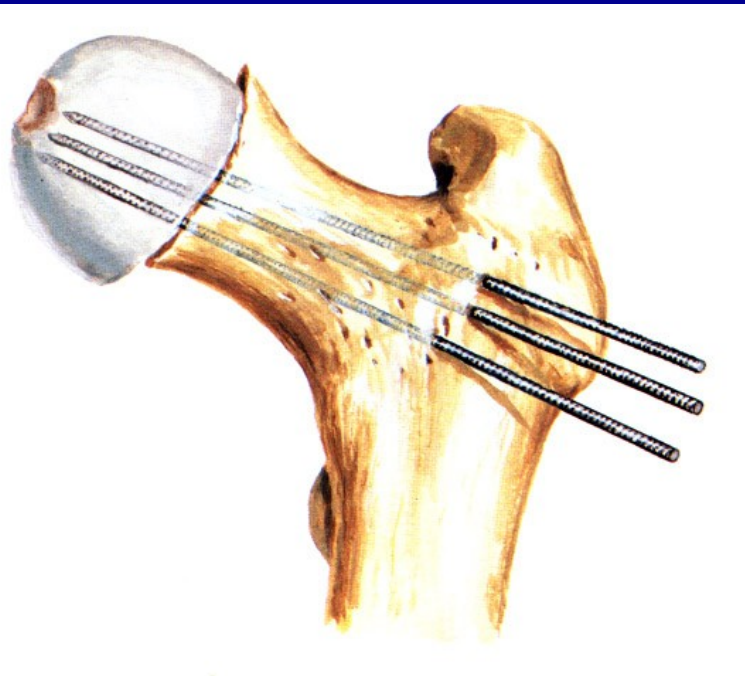
Fixace in situ (K dráty, šrouby) -
u lehkých skluzů

Zavřená repozice a fixace K dráty -
u středních a těžkých skluzů

Vyjímečně - otevřená repozice

Osteotomie v pertrochanterické krajině -
Southwick, Imhäuser-Weber

Fixace in situ

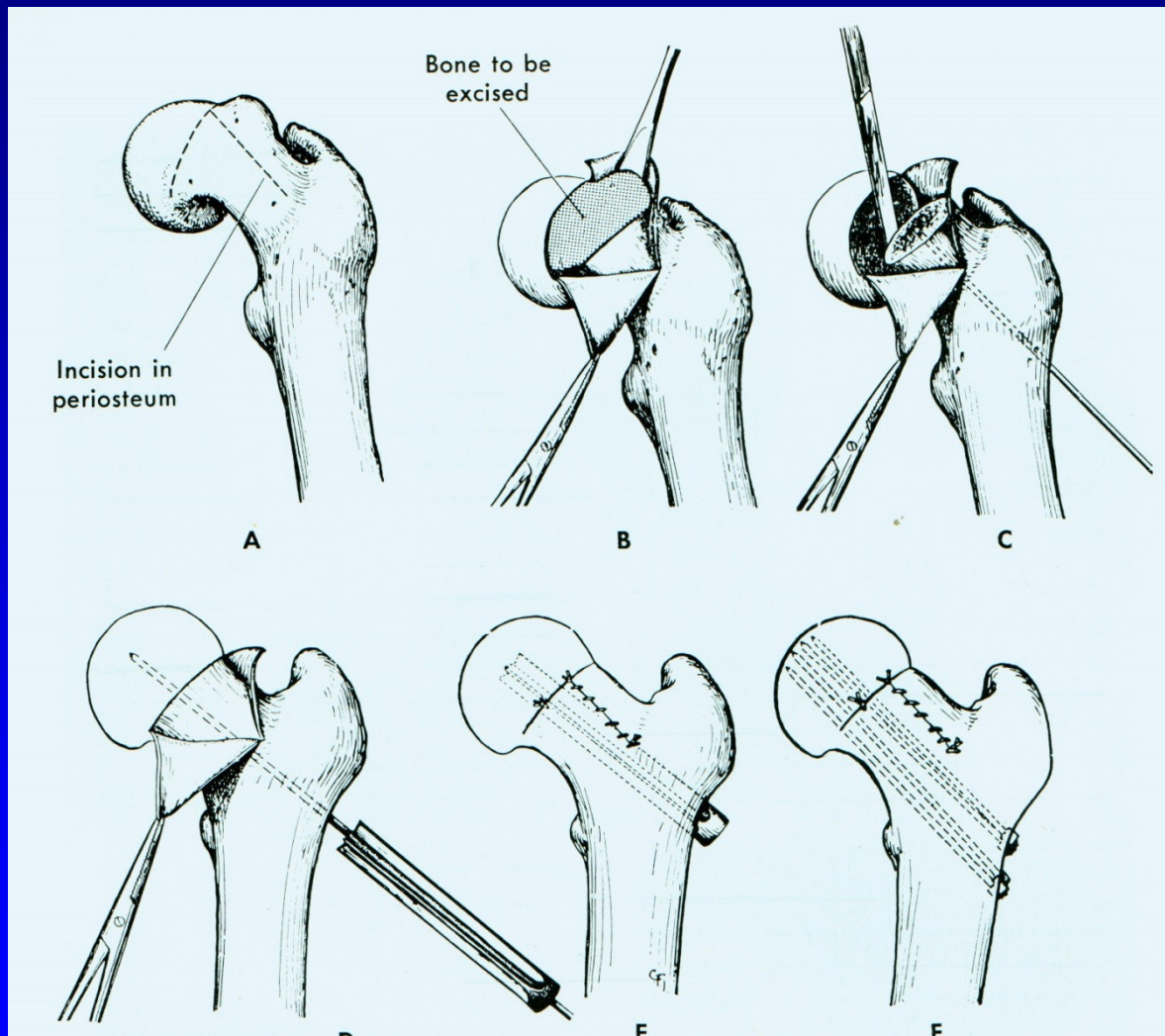


Obr. 31



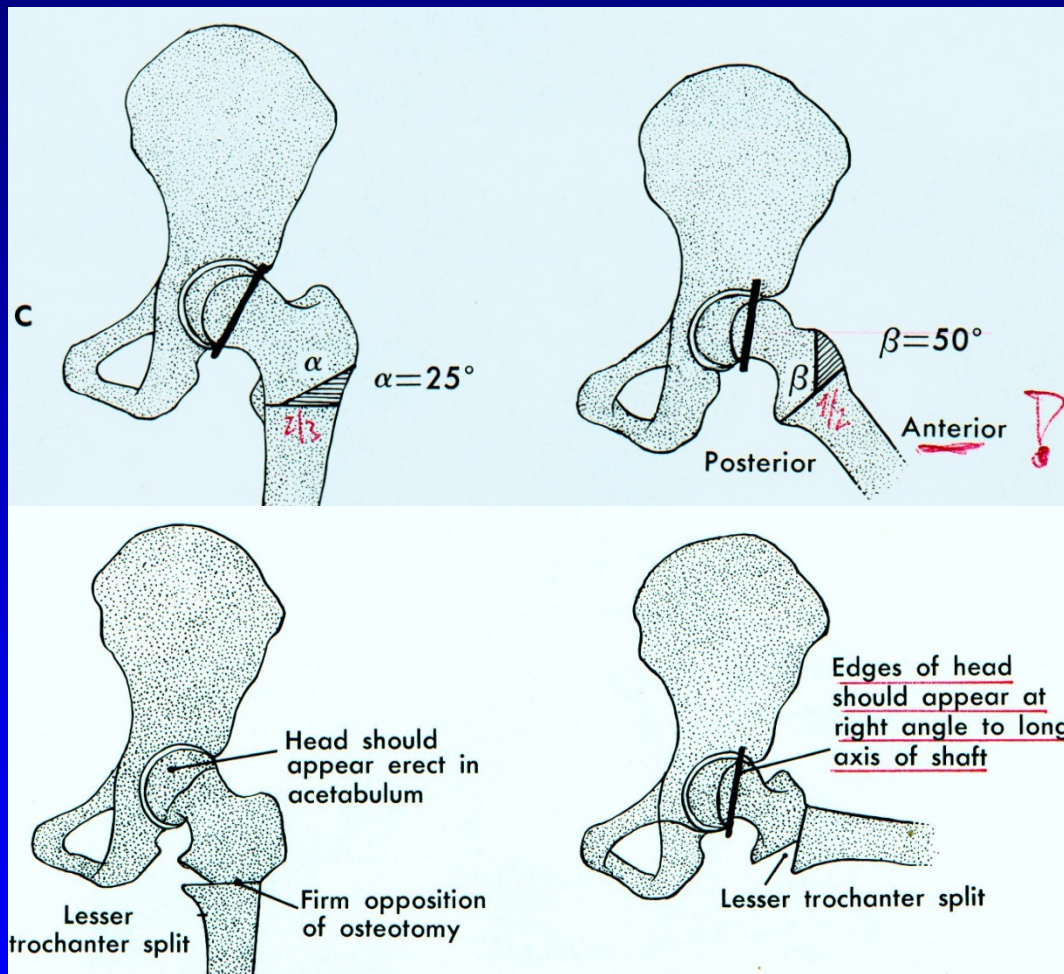
Obr. 32

Otevřená repozice a fixace hřeby



Obr. 33

Osteotomia sec. Southwick



Obr. 34

Petrochanterická osteotomie femuru - CVA



Obr. 35

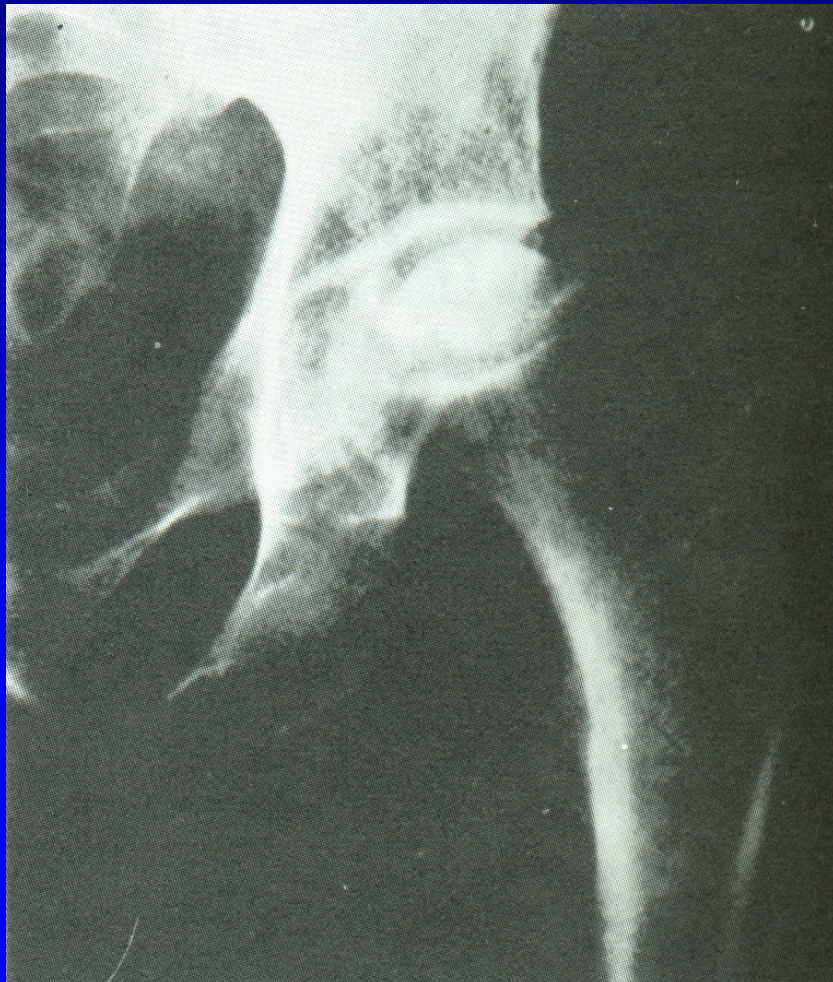
Komplikace CVA

Avaskulární nekróza hlavice femuru

Chondrolýza hlavice femuru

Osteoartróza kyče

Idiopatická avaskulární nekróza hlavice femuru



Etiologie je neznámá

Bolesti

Nemožnost pohybu

Omezení pohybu

Obr. 39

72 % oboustranně

Bez léčby 85 % progreduje do kolapsu

5-12 % indikací k TEP

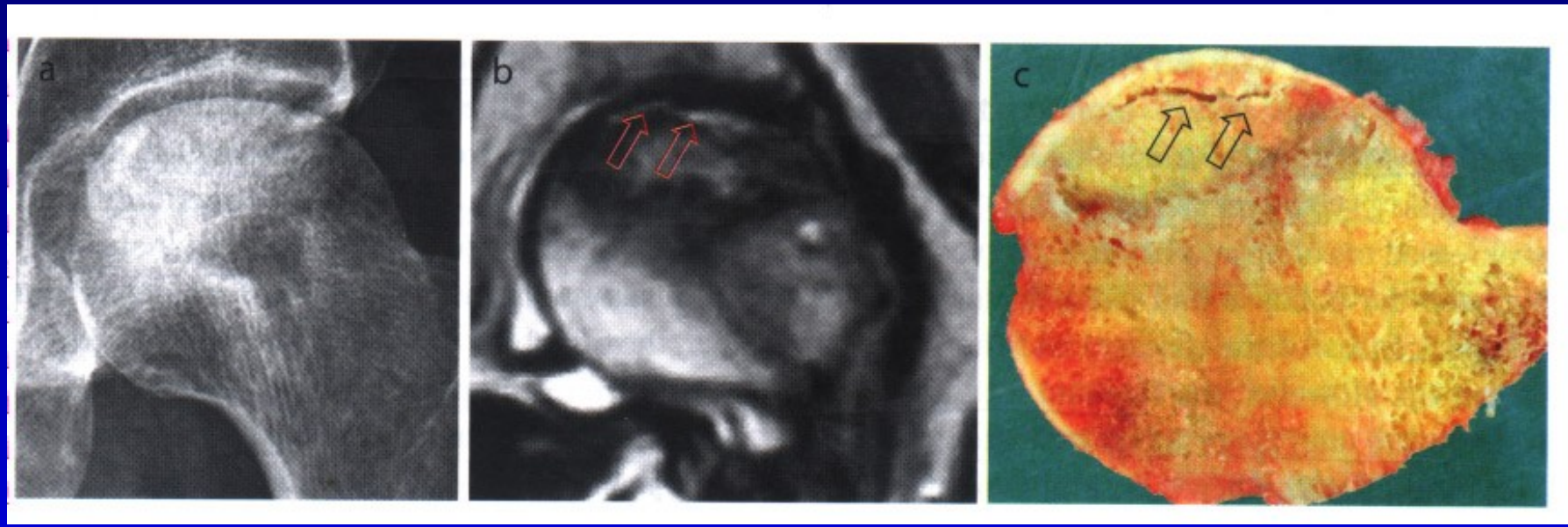
Diagnóza:

Kostní infarkt v začátku je asymptomatický

Bolesti v tříslu, kolem stehna, kyčle – nutno vyšetřit

RTG – jen pokročilé stavy

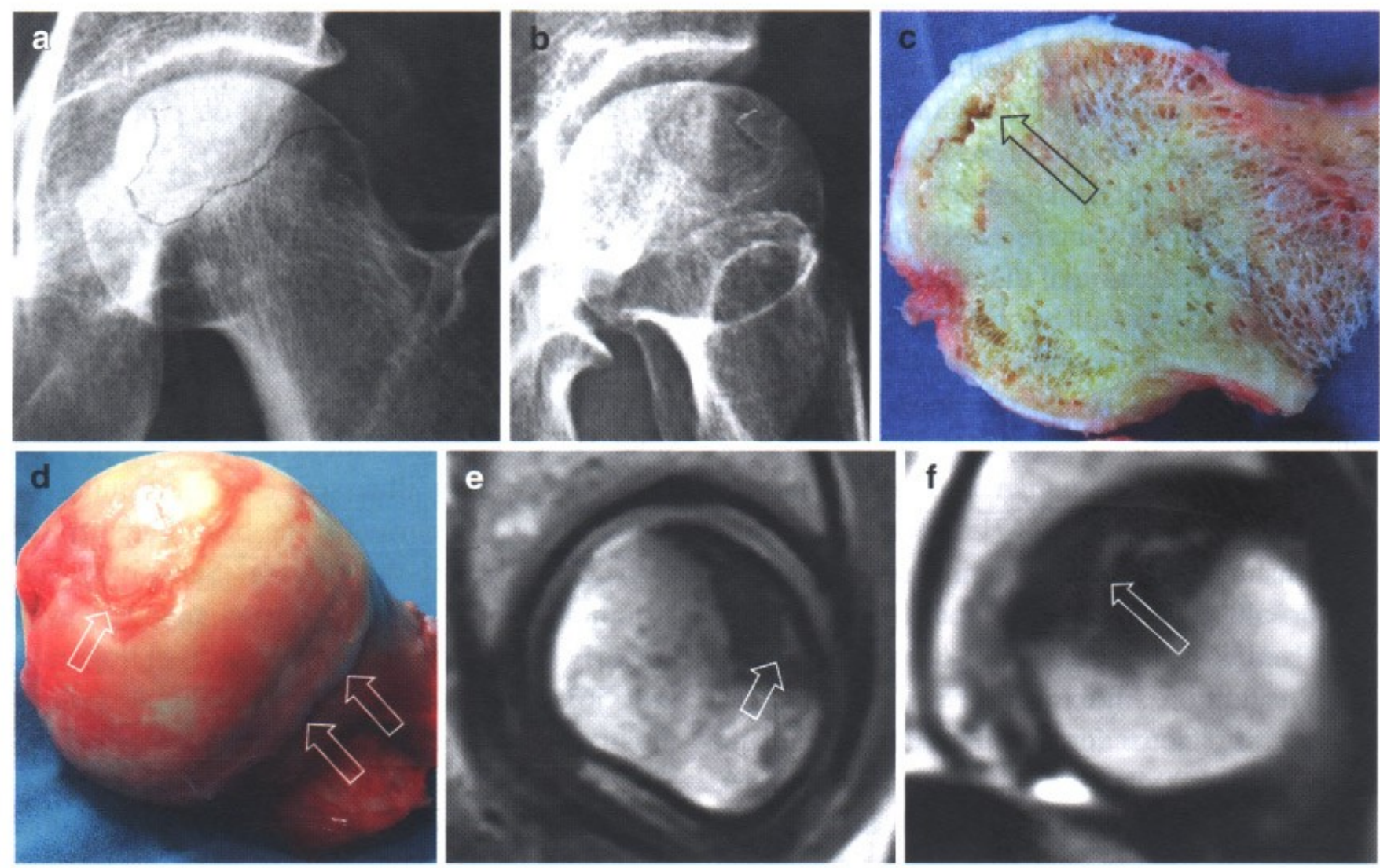
MRI



RTG
Subchondr. projeasnění

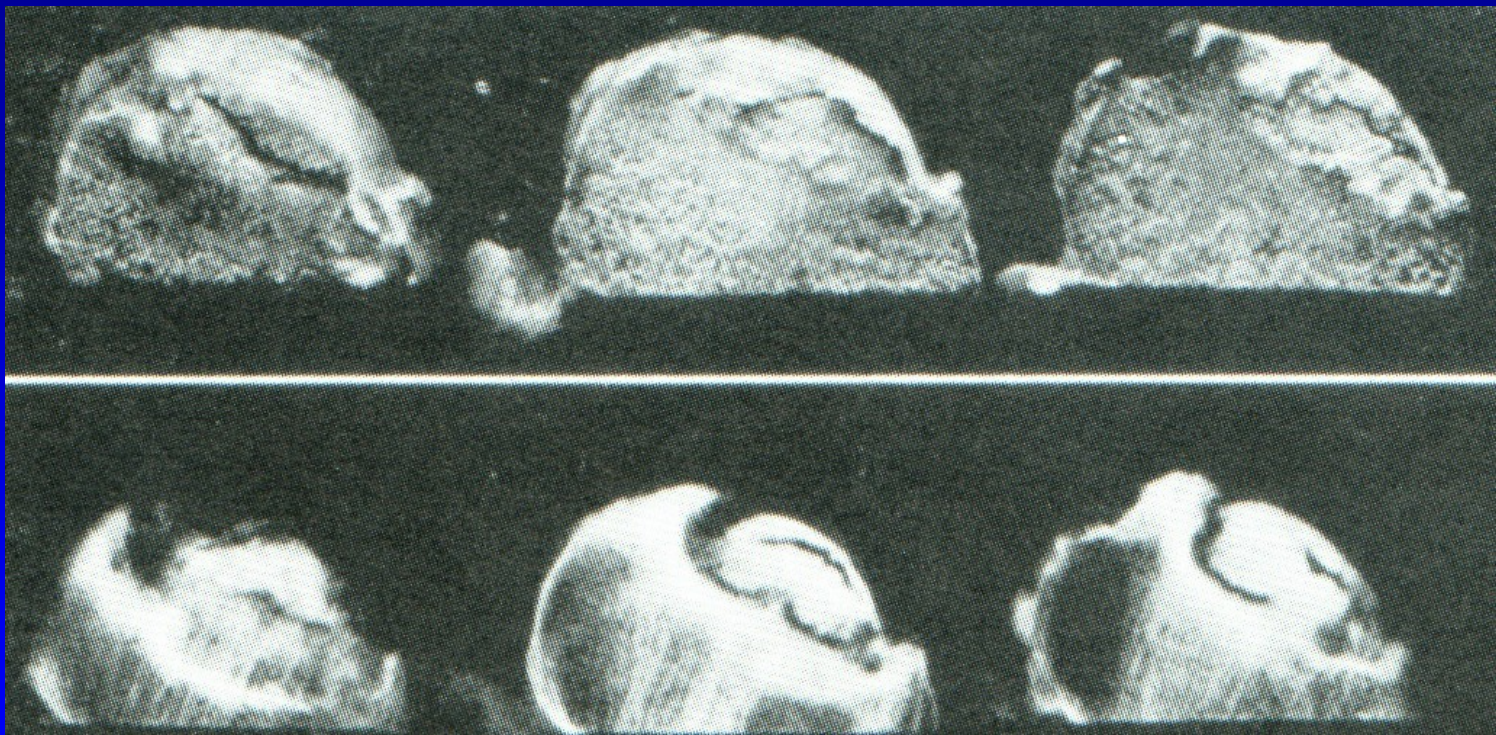
MRI

Excise hlavice



Subchondrální frakturna

Idiopatická avaskulární nekróza hlavice femuru



Obr. 40

Léčba

Konz: odlehčování, NSA, berle, bisfosfonáty
rázová vlna, statiny, vasodilatancia

Oper.:

Forrage, dekomprese - navrtání hladkým pinem,
+ spongioplastika

Tantalové tyčky

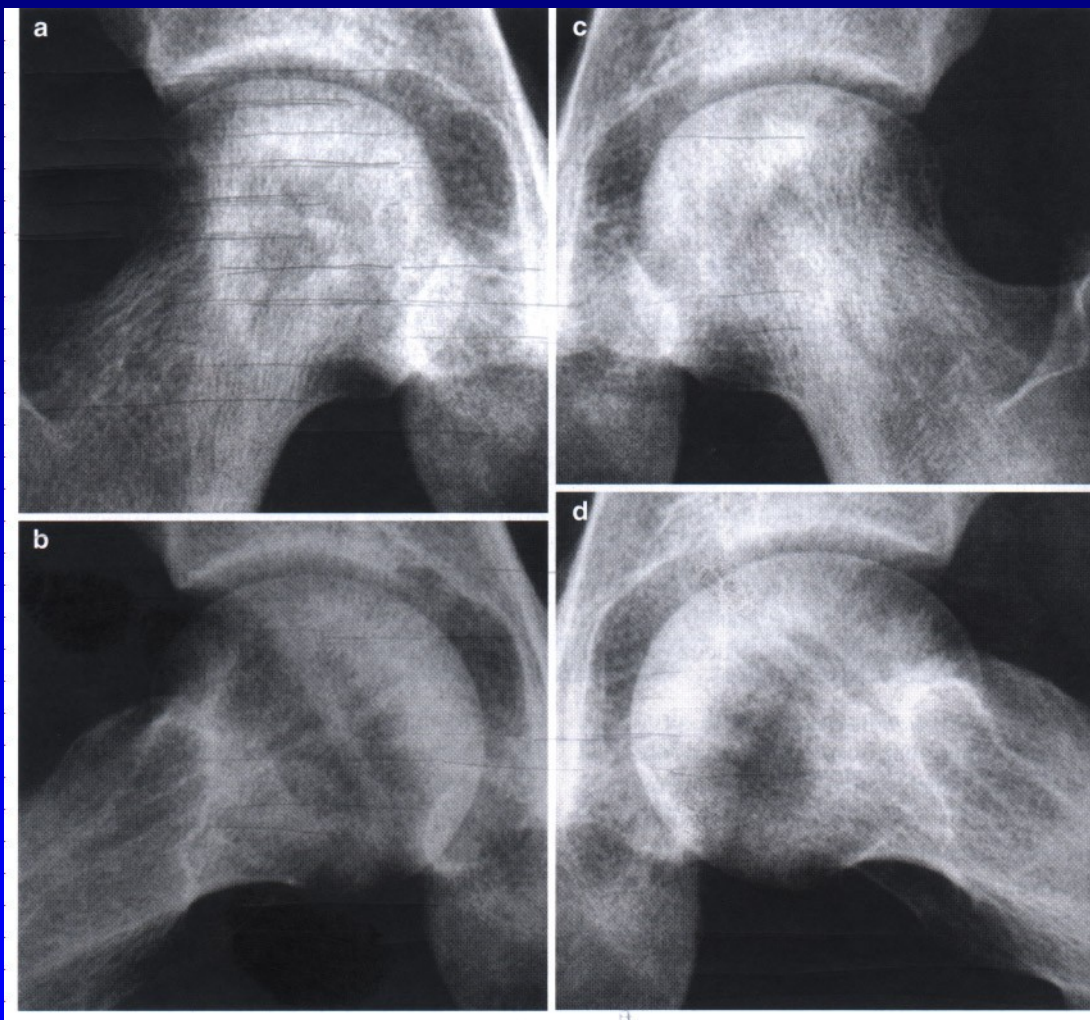
Válcový kostní štěp - s otočením

Osteotomie -varizační, valgizační, derotační

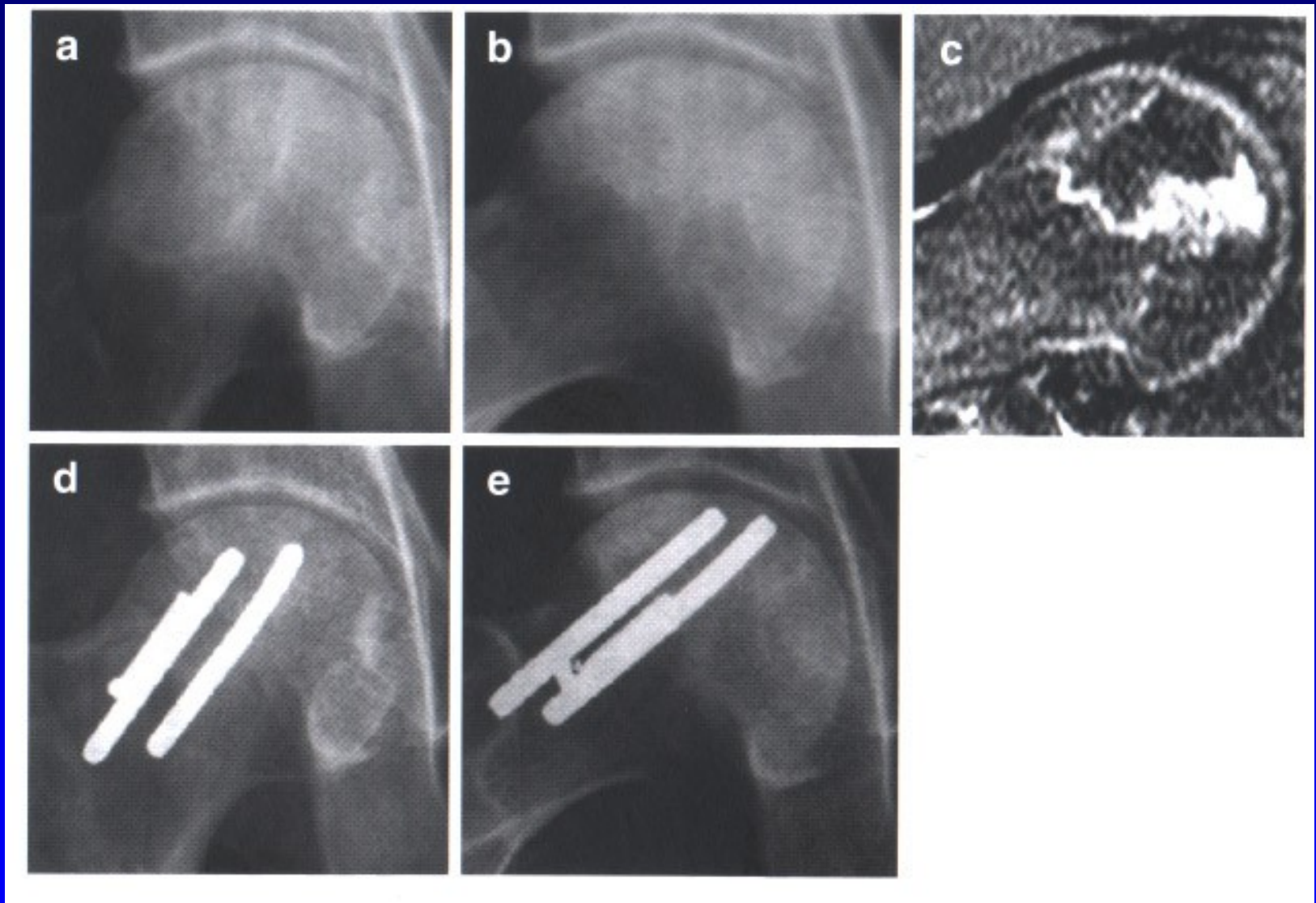
Vaskularizované kostní štěpy- free vascularized fibular graft

Nevaskularizované štěpy – horší výsledky.

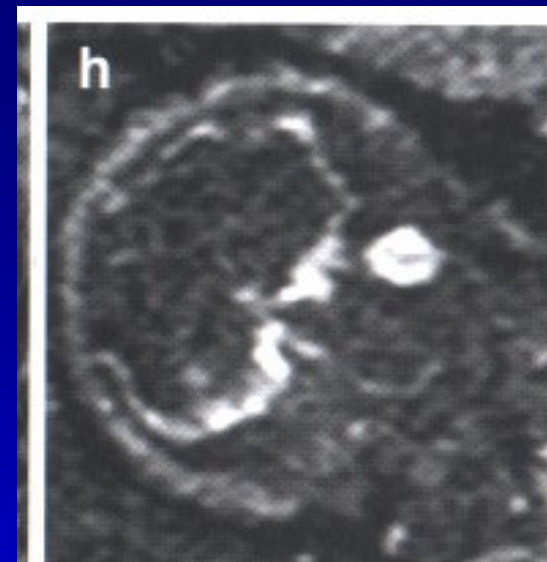
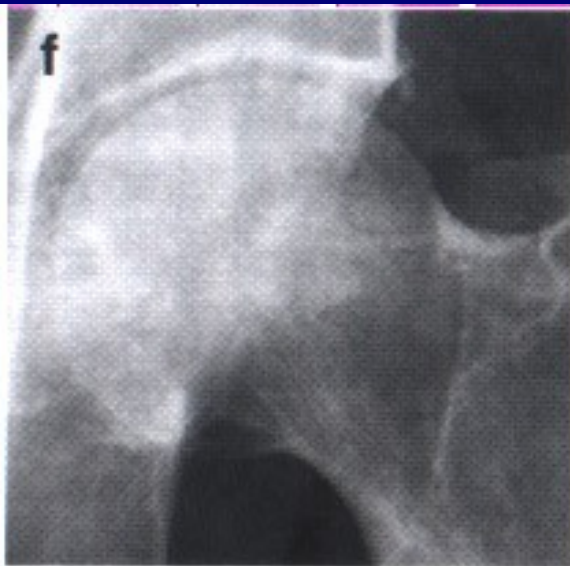
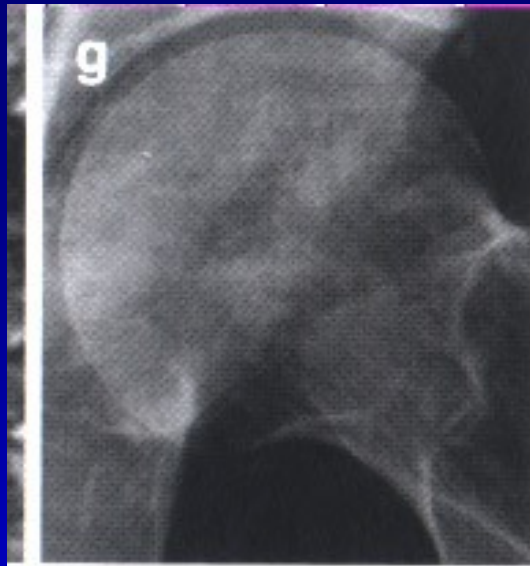
TEP



LED, perkutánní drilling – Steinman pin



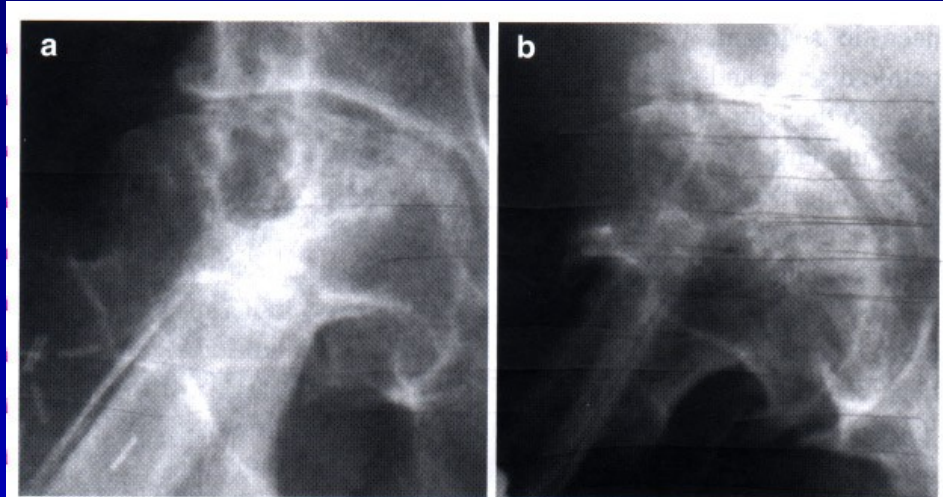
Trabecular metal Tantalum tyčky
4 roky po op.



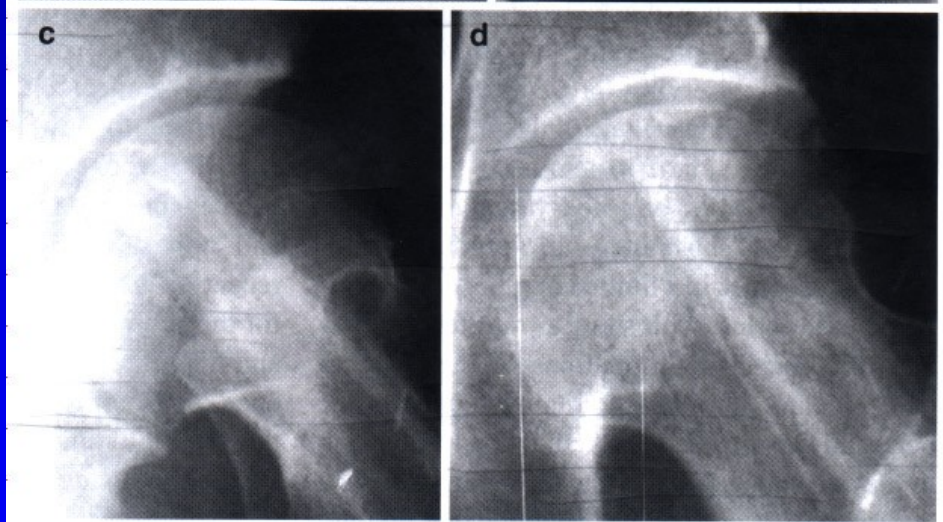
Preop.

Vaskulární fibulární graft
5 roků po op.

11 roků po op.
Nechce TEP



10 r. po op.
Asymptomatic.

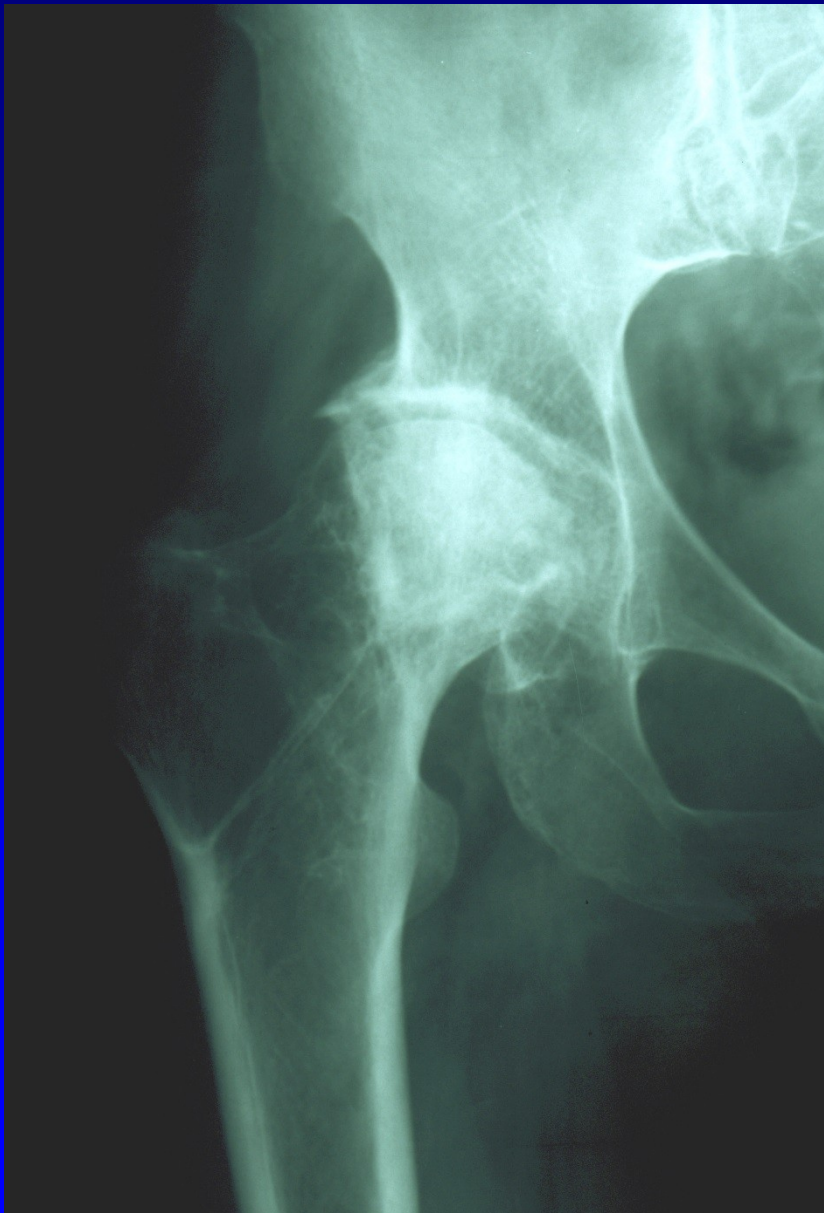


Vaskulární fibulární štěp

Jiné typy nekróz hlavice femuru

Nekróza hlavice
femuru po fraktuře
krčku

Obr. 41



Jiné typy nekróz hlavice femuru

Nekróza hlavice
femuru po coxitidě

Obr. 42



M. Panner - osteonekróza capitulum humeri

Vertebra plana Calvé

Nekróza zadní apofýzy kosti patní

m. Osgood- Schlatter - prox. apofýza tibie

Nekróza sesamských kůstek palce nohy

M. Ahlbäck – nekróza kondylu femuru

Traumatické kostní nekrózy epifýz